

УДК 538.13

©1995

## МАГНИТОКРИСТАЛЛИЧЕСКАЯ АНИЗОТРОПИЯ И НИЗКОТЕМПЕРАТУРНАЯ АНИЗОТРОПИЯ НАМАГНИЧЕННОСТИ

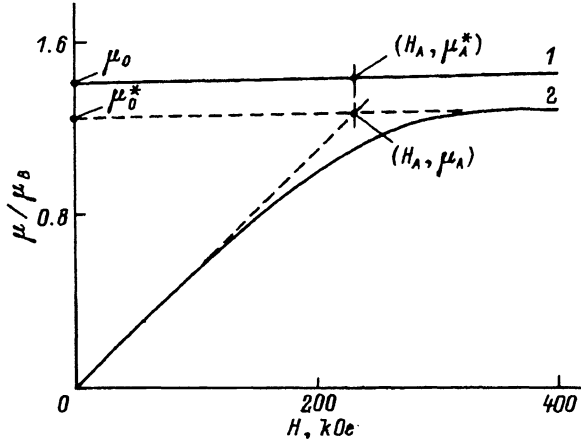
*Е.В.Розенфельд, А.В.Королев*

Институт физики металлов УрО РАН, Екатеринбург  
(Поступила в Редакцию 27 сентября 1994 г.)

Предлагается феноменологическая модель, описывающая магнитокристаллическую анизотропию магнетиков с замороженным орбитальным моментом. Модель описывает также и анизотропию намагниченности насыщения, не исчезающую при  $T \rightarrow 0$  К. Для определения феноменологических параметров модели достаточно обычных магнитометрических измерений (кривых намагничивания). Показана возможность определения из таких измерений константы спин-орбитального взаимодействия для ферромагнитных металлов, а также возможность разделения вкладов в намагниченность от орбитального и спинового моментов. Получены константы спин-орбитального взаимодействия и  $g$ -факторы для атомов кобальта в чистом металле и в ряде его интерметаллических соединений.

Хорошо известно, что в магнетиках с замороженным орбитальным моментом природа магнитной кристаллической анизотропии (МКА) связана с зависимостью энергии спин-орбитального взаимодействия от направления намагниченности [1]. Это же взаимодействие (вместе с внешним магнитным полем  $H$ ) частично размораживает орбитальный момент (ОМ), причем степень размораживания, или, другими словами,  $g$ -фактор, тоже зависит от направления намагниченности. Поэтому встает естественный вопрос о связи между МКА и анизотропией ОМ (или, что то же самое, анизотропией намагниченности насыщения), т.е. разности между значениями намагниченности в области парапроцесса при приложении поля  $H$  вдоль разных кристаллографических направлений. Особенно важен этот вопрос для высокоанизотропных металлических магнетиков, в которых анизотропия намагниченности насыщения весьма значительна (см. рисунок, таблицу, а также работы [2-6]).

Несложно проанализировать эту ситуацию на примере простейшей модельной системы. Рассмотрим не полностью заполненную электронную оболочку, помещенную в сильное кристаллическое поле низкой симметрии. Будем полагать, что ОМ каждого электрона  $l$  все же остается хорошим квантовым числом, хотя вырождение по его проекциям снимается полностью, и, следовательно, ОМ полностью заморожен. Учитывая спин-орбитальное взаимодействие  $H_{sl} = \zeta \sum (s_i l_i)$  (сумма по



Типичный вид кривых намагничивания магнитно-одноосных монокристаллов  $\text{RCO}_5$  ( $R = \text{Y, Ce, Th}$ ) вдоль ( $\mathbf{H} \parallel c$ ) (1) и поперек ( $\mathbf{H} \perp c$ ) (2) оси легкого намагничивания.

Сплошные линии — экспериментальные данные для  $\text{CeCo}_5$  при 4.2 К [5], штриховые — продолжение линейных участков зависимости  $\mu(H)$  при  $\mathbf{H} \perp c$ , точки — характерные параметры,  $\mu$  — среднее значение магнитного момента атома кобальта.

всем электронам) в низшем порядке теории возмущений, для поправки к энергии основного состояния и средних по нему значений компонент полного ОМ оболочки  $L$  нетрудно получить выражения

$$\delta E = -\zeta^2 \sum_{\gamma, \nu} \frac{|\langle \gamma | \hat{l}_x | \nu \rangle|^2 \sin^2 \theta + |\langle \gamma | \hat{l}_z | \nu \rangle|^2 \cos^2 \theta}{E_\gamma - E_\nu},$$

$$\hat{L}_x = -2\zeta \sum_{\gamma, \nu} \frac{|\langle \gamma | \hat{l}_x | \nu \rangle|^2 \sin \theta}{E_\gamma - E_\nu}, \quad \hat{L}_z = -2\zeta \sum_{\gamma, \nu} \frac{|\langle \gamma | \hat{l}_z | \nu \rangle|^2 \cos \theta}{E_\gamma - E_\nu}. \quad (1)$$

Суммирование по  $\gamma$  здесь идет по свободным, а по  $\nu$  — по занятым одночастичным состояниям, причем мы считаем, что полный спин оболочки  $S$  и его проекция на ось  $\xi$ , направленную под углом  $\vartheta$  к оси  $\hat{Z}$  в плоскости  $ZX$ , максимальны. Очевидно, что в этом случае выигрыш в энергии спин-орбитального взаимодействия и величина размороженного ОМ прямо пропорциональны друг другу, т.е. первопричиной возникновения МКА является именно анизотропия ОМ. Подчеркнем, что в таких системах в отличие от магнетиков с размороженным ОМ [9,10] анизотропия намагниченности имеет место и при температуре 0 К. Впервые сильный низкотемпературный эффект анизотропии намагниченности был обнаружен в [2].

Естественным обобщением (1) является запись энергии  $E$  в виде

$$E = -\lambda(\mathbf{L}\mathbf{S}) + \alpha_{\parallel} L_{\parallel}^2 + \alpha_{\perp} L_{\perp}^2, \quad (2)$$

где  $\lambda = \zeta/S \text{ sign}(n - 2l - 1)$ ,  $n$  — число частиц в оболочке, а  $\alpha_{\parallel}$  и  $\alpha_{\perp}$  — феноменологические параметры, характеризующие «жесткость» замораживания ОМ вдоль ( $\parallel$ ) и поперек ( $\perp$ ) оси  $\hat{Z}$ . При соответствующем

Экспериментальные значения магнитного момента  $\mu_0$  и разности моментов  $\Delta\mu = \mu_0 - \mu_A$  в расчете на атом кобальта; вычисленные с использованием экспериментальных данных [3-5, 7, 8] константа спин-орбитального взаимодействия  $\lambda$ , максимальное и минимальное значения магнетомеханического фактора  $g' = 2(\mu_s + \mu_l)/(\mu_s + 2\mu_l)$  для кобальта и ряда интерметаллидов  $RCO_5$ , а также значения  $g'$ , определенные из других экспериментов [4]

Состав	$\mu_0, \mu_B$	$\Delta\mu, \mu_B$	$\lambda, 10^{-16} \text{erg}$	$g'_{\min}$	$g'_{\max}$	$g' [4]$	Литературная ссылка
Co	1.729	0.008	240	1.91	1.99	1.87	[7,8]
YCo <sub>5</sub>	1.666	0.062	460	1.80	1.95	1.67	[3]
CeCo <sub>5</sub>	1.424	0.171	260	1.72	1.79	-	[5]
ThCo <sub>5</sub> *	0.920	0.120	140	1.52	1.77	-	[4]
ThCo <sub>5</sub> **	1.446	0.078	380	1.75	1.90	-	[4]

\* Точный состав соответствует формуле Th<sub>0.965</sub>Co<sub>5.07</sub>.

\*\* Точный состав соответствует формуле Th<sub>0.95</sub>Co<sub>5.10</sub>.

очевидном выборе значений  $\alpha_{\parallel}$  и  $\alpha_{\perp}$  минимизация (2) по  $L_{\parallel}$  и  $L_{\perp}$  немедленно приводит к (1).

Добавив к (2) энергии обменного и зеемановского взаимодействий, мы получаем выражение для энергии (точнее, термодинамического потенциала) магнетика с одноосной симметрией

$$E = -a\mu_s^2 + b\mu_s^4 - \frac{\lambda}{2}(\mu_s \cdot \mu_l) + \alpha_{\parallel}(\mu_l^{\parallel})^2 + \alpha_{\perp}(\mu_l^{\perp})^2 - \mu_B \mathbf{H}(\mu_s + \mu_l). \quad (3)$$

Здесь первые два слагаемых — разложение Гинзбурга-Ландау для обменной энергии, а  $\mu_s$  и  $\mu_l$  — спиновый и орбитальный магнитные моменты узла в единицах магнетона Бора  $\mu_B$ . Минимизация (3) по  $\mu_s$  и  $\mu_l$  дает простые уравнения, описывающие полевые зависимости компонент  $\mu_s$ ,  $\mu_l$  и  $\mu = \mu_s + \mu_l$  (кривые намагничивания). В частности, при  $\mathbf{H}$ , параллельном и перпендикулярном «легкой» оси  $\hat{Z}$ , соответственно получаем

$$\begin{aligned} \mathbf{H} \parallel \hat{Z}: \quad \mu_{\parallel}(H) &= \mu_0 + \frac{\chi_{\parallel} H}{\mu_B}, \quad \mu_0 = \mu_s^0 + \mu_l^0 = \mu_s^0 \left(1 + \frac{\lambda}{4\alpha_{\parallel}}\right), \\ \mathbf{H} \perp \hat{Z}: \quad \mu_{\perp}(H) &= \begin{cases} \mu_A H / H_A, & H \leq H_A, \\ \mu_A + \frac{\chi_{\perp}(H - H_A)}{\mu_B}, & H > H_A, \end{cases} \\ \mu_A = \mu_s^0 \left(1 + \frac{\lambda}{4\alpha_{\perp}} \frac{4\alpha_{\parallel} + \lambda}{4\alpha_{\perp} + \lambda}\right) < \mu_0, \quad H_A &= \frac{\lambda^2 \mu_s^0}{2\mu_B} \frac{\alpha_{\perp} - \alpha_{\parallel}}{\alpha_{\parallel}(4\alpha_{\perp} + \lambda)}. \end{aligned} \quad (4)$$

Относительно громоздкие выражения для спинового момента  $\mu_s$  в нулевом поле и для восприимчивостей парапроцесса  $\chi_{\parallel}$ ,  $\chi_{\perp}$  через феноменологические параметры  $a$ ,  $b$ ,  $\alpha_{\parallel}$ ,  $\alpha_{\perp}$  и  $\lambda$  мы здесь не приводим. Однако ясно (см. рисунок), что

$$\chi_{\parallel} = \mu_B (\mu_A^* - \mu_0) / H_A, \quad \chi_{\perp} = \mu_B (\mu_A - \mu_0^*) / H_A. \quad (5)$$

Поэтому пять указанных феноменологических параметров могут быть непосредственно связаны с пятью характерными параметрами кривых намагничивания  $\mu_0$ ,  $\mu_A$ ,  $\mu_0^*$ ,  $\mu_A^*$  и  $H_A$ . Постоянная спин-орбитального взаимодействия  $\lambda$  выражается через них непосредственно

$$\lambda = 2\mu_B H_A / (\mu_0 - \mu_A) \quad (6)$$

и поэтому может быть просто определена из эксперимента по измерению кривых намагничивания в легком и трудном направлениях.<sup>1</sup> В выражении для параметров  $\alpha_{\parallel}$ ,  $\alpha_{\perp}$ , определяющих вклады орбитальной системы в намагниченность при различных ориентациях последней

$$\alpha_{\parallel} = \frac{\lambda \mu_s^0}{4(\mu_0 - \mu_s^0)}, \quad \alpha_{\perp} = \frac{\lambda(\mu_0 - \mu_A + \mu_s^0)}{4(\mu_A - \mu_s^0)}, \quad (7)$$

входит, однако, и спиновый момент  $\mu_s^0 = \mu_s (H = 0)$ . Определение его только через параметры двух экспериментальных кривых намагничивания (см. рисунок) в рамках данной модели невозможно, так как последние связаны тождеством

$$(\mu_0 - \mu_0^*)^{-1} - (\mu_A^* - \mu_A)^{-1} = \mu_0^{-1}. \quad (8)$$

Поэтому для однозначного разделения магнитного момента  $\mu$  на  $\mu_s$  и  $\mu_l$  необходимо привлечение дополнительных экспериментальных данных (например, кривых вращательных моментов). Однако используя только кривые намагничивания, очень просто найти верхнюю и нижнюю грани  $\mu_s^0$ , поскольку, как нетрудно показать, во всей области вращения намагниченности ( $H < H_A$ ) при  $H \perp Z$  величина  $\mu_s$  не меняется  $\mu_s = \mu_s^0$ . Поэтому верхней гранью для  $\mu_s^0$  является  $\mu_A$  (соответствует предположению  $\alpha_{\perp} \rightarrow \infty$ ,  $\mu_l^{\perp} = 0$ ). Нижнюю грань для  $\mu_s^0$  легко определить, полагая, что парапроцесс в спиновой системе полностью отсутствует, т.е.  $\mu_s \equiv \mu_s^0$  в любых полях. В этом случае сразу находим  $\alpha_i = \mu_B^2 / (2\chi_i)$ ,  $i = \parallel, \perp$ .

Таким образом, предложенная модель может служить основой для описания магнитометрических экспериментов в металлических ферромагнетиках и позволяет при использовании экспериментальных данных сделать количественные оценки констант вещества, которые трудно поддаются определению. Так, анализ данных для кобальта [7,8] и некоторых его интерметаллических соединений типа  $RCo_5$  [3-5] с предположительно немагнитными атомами R позволяет найти константу  $\lambda$  и оценить верхнюю и нижнюю грани магнетомеханического отношения  $g' = 2(\mu_s + \mu_l) / (\mu_s + 2\mu_l)$  для атома кобальта в этих веществах.

В заключение отметим, что для магнетиков с низкой энергией МКА можно надеяться получить достаточно точные значения входящей в (6) разности  $\Delta\mu = \mu_0 - \mu_A$ , а следовательно, и значения константы  $\lambda$ . В качестве основы одного из чувствительных методов определения величины  $\Delta\mu$  можно использовать измерение сигнала, наводимого в контуре

<sup>1</sup> Отметим, что (6) или выражение для  $H_A$  (4) заменяют в этой модели классическое выражение  $H_A = 2K/M_s$  ( $K$  — константа анизотропии,  $M_s$  — намагниченность насыщения).

(катушке) при поворотах или непрерывном вращении образца, находящегося в определенном магнитном поле. Ранее такой способ измерения разностей намагниченности был использован одним из авторов настоящей работы при изучении эффектов наведенной магнитной анизотропии [11].

### Список литературы

- [1] Ирхин Ю.П. УФН **151**, 2, 321 (1986).
- [2] Ермоленко А.С., Розенфельд Е.В. ФММ **48**, 3, 506 (1979).
- [3] Alameda J.M., Givord D., Lemaire R., Lu Q. J. Appl. Phys. **52**, 3, 2079 (1981).
- [4] Givord D., Laforest J., Lemaire R., Lu Q. J. Magn. Magn. Mater. **31-34**, 191 (1983).
- [5] Bartashevich M.I., Goto T., Radwanski R.J., Korolyov A.V. J. Magn. Magn. Mater. **131**, 61 (1994).
- [6] Matthaei R., Franse J.J.M., Sinnema S., Radwanski R.J. J. de Phys. **49**, C8, 533 (1988).
- [7] Pauthenet R. Proc. Int. Symp. High Field Magnetism. North Holland Publ. Comp. (1983), p. 77-86; Comptes rendus. **297**, 13 (1983).
- [8] Paige D.M., Szpunar B., Tanner B.K. J. Magn. Magn. Mater. **44**, 239 (1984).
- [9] Callen E.R., Callen H.B. J. Phys. Chem. Sol. **16**, 310 (1960).
- [10] Ермоленко А.С., Розенфельд Е.В., Ирхин Ю.П., Келарев В.В., Рожда А.Ф., Сидоров С.К., Пирбоев А.Н., Вохмянин А.П. ЖЭТФ **69**, 1743 (1975).
- [11] Korolyov A.V., Gaviko V.S., Mushnikov N.V. IEEE Trans. Magn. **29**, 2899 (1993).